

# Unitariedad perturbativa a $\Lambda \leq 10^5$ sobre el modelo doblete inerte

Diego Ríos

Universidad de Antioquia



November 22, 2021

Computación científica avanzada

# Contenido

- El modelo.
- Unitariedad perturbativa.
- RGEs.
- Resultados.
- Conclusiones.

# El modelo doblete inerte

El potencial escalar renormalizable más general asociado al modelo, viene dado por

$$\begin{aligned} \mathcal{V} = & \mu_1^2 |H_1|^2 + \mu_2^2 |H_2|^2 + \lambda_1 |H_1|^4 + \lambda_2 |H_2|^4 + \lambda_3 |H_1|^2 |H_2|^2 \\ & + \lambda_4 \left| H_1^\dagger H_2 \right|^2 + \frac{\lambda_5}{2} \left[ \left( H_1^\dagger H_2 \right)^2 + \text{h.c.} \right], \end{aligned} \quad (1)$$

donde  $H_1$  es el doblete de Higgs del SM,  $\mu_i$  son términos de masa y  $\lambda_i$  son parámetros adimensionales relativos a los acoplamientos.

$H_2$  es impar bajo la simetría  $\mathbb{Z}_2$  y todos los demás campos son pares

# Unitariedad perturbativa

Se debe garantizar la unitariedad perturbativa del modelo, imponiendo sobre la matriz de transición o S-Matrix, la unitariedad de la misma. Esto es,

$$|\operatorname{Re}(a_i)| \leq \frac{1}{2}, \quad (2)$$

donde  $a_i$  son los autovalores de la S-Matrix.

# Unitariedad perturbativa y RGEs

La condición de unitariedad perturbativa ha de mantenerse a todas las escalas de energía, lo cual puede lograrse, solucionando las RGEs del modelo e imponiendo dicha condición para todos los valores de los acoplamiento adquiridos a las diferentes escalas.

Las RGEs han sido calculadas con SARAH 4.14.4 a 1-loop.

## RGEs

$$\begin{aligned}\beta_{\lambda_1}^{(1)} = & \frac{\ln(10)}{16\pi^2} \left( 12\lambda_1 (Y_{d,1}^2 + Y_{d,2}^2 + Y_{d,3}^2) - 6 (Y_{d,1}^4 + Y_{d,2}^4 + Y_{d,3}^4) + 4\lambda_1 (Y_{e,1}^2 + Y_{e,2}^2 + Y_{e,3}^2) \right. \\ & - 2 (Y_{e,1}^4 + Y_{e,2}^4 + Y_{e,3}^4) + 12\lambda_1 (Y_{u,1}^2 + Y_{u,2}^2 + Y_{u,3}^2) - 6 (Y_{u,1}^4 + Y_{u,2}^4 + Y_{u,3}^4) - \frac{9}{5} g_1^2 \lambda_1 \\ & \left. - 9g_2^2 \lambda_1 + \frac{27g_1^4}{200} + \frac{9}{20} g_2^2 g_1^2 + \frac{9g_2^4}{8} + 24\lambda_1^2 + 2\lambda_3^2 + \lambda_4^2 + \lambda_5^2 + 2\lambda_3\lambda_4 \right),\end{aligned}$$

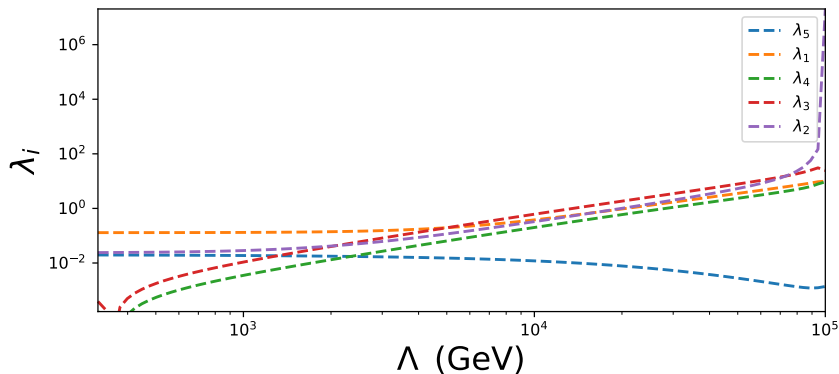
$$\beta_{\lambda_2}^{(1)} = \frac{\ln(10)}{16\pi^2} \left( \frac{9}{20} g_1^2 (g_2^2 - 4\lambda_2) - 9g_2^2 \lambda_2 + \frac{27g_1^4}{200} + \frac{9g_2^4}{8} + 24\lambda_2^2 + 2\lambda_3^2 + \lambda_4^2 + \lambda_5^2 + 2\lambda_3\lambda_4 \right),$$

$$\begin{aligned}\beta_{\lambda_3}^{(1)} = & \frac{\ln(10)}{16\pi^2} \left( 6\lambda_3 (Y_{d,1}^2 + Y_{d,2}^2 + Y_{d,3}^2) + 2\lambda_3 (Y_{e,1}^2 + Y_{e,2}^2 + Y_{e,3}^2) + 6\lambda_3 (Y_{u,1}^2 + Y_{u,2}^2 + Y_{u,3}^2) \right. \\ & - \frac{9}{5} g_1^2 \lambda_3 - 9g_2^2 \lambda_3 + \frac{27g_1^4}{100} + \frac{9}{10} g_2^2 g_1^2 + \frac{9g_2^4}{4} + 4\lambda_3^2 + 2\lambda_4^2 + 10\lambda_5^2 + 12\lambda_1\lambda_3 + 12\lambda_2\lambda_3 \\ & \left. + 4\lambda_1\lambda_4 + 4\lambda_2\lambda_4 \right),\end{aligned}$$

$$\begin{aligned}\beta_{\lambda_4}^{(1)} = & \frac{\ln(10)}{16\pi^2} \left( 6\lambda_4 (Y_{d,1}^2 + Y_{d,2}^2 + Y_{d,3}^2) + 2\lambda_4 (Y_{e,1}^2 + Y_{e,2}^2 + Y_{e,3}^2) + 6\lambda_4 (Y_{u,1}^2 + Y_{u,2}^2 + Y_{u,3}^2) \right. \\ & - \frac{9}{5} g_1^2 \lambda_4 - 9g_2^2 \lambda_4 - \frac{9}{5} g_2^2 g_1^2 + 4\lambda_4^2 - 8\lambda_5^2 + 4\lambda_1\lambda_4 + 4\lambda_2\lambda_4 + 8\lambda_3\lambda_4 \left. \right),\end{aligned}$$

$$\begin{aligned}\beta_{\lambda_5}^{(1)} = & \frac{\ln(10)}{16\pi^2} \left( 6\lambda_5 (Y_{d,1}^2 + Y_{d,2}^2 + Y_{d,3}^2) + 2\lambda_5 (Y_{e,1}^2 + Y_{e,2}^2 + Y_{e,3}^2) + 6\lambda_5 (Y_{u,1}^2 + Y_{u,2}^2 + Y_{u,3}^2) \right. \\ & \left. - \frac{9}{5} g_1^2 \lambda_5 - 9g_2^2 \lambda_5 + 4\lambda_1\lambda_5 + 4\lambda_2\lambda_5 + 8\lambda_3\lambda_5 - 4\lambda_4\lambda_5 \right).\end{aligned}$$

# Resultados



**Figure:** Comportamientos de los acoplamientos a las diferentes escalas de energía.

# Resultados

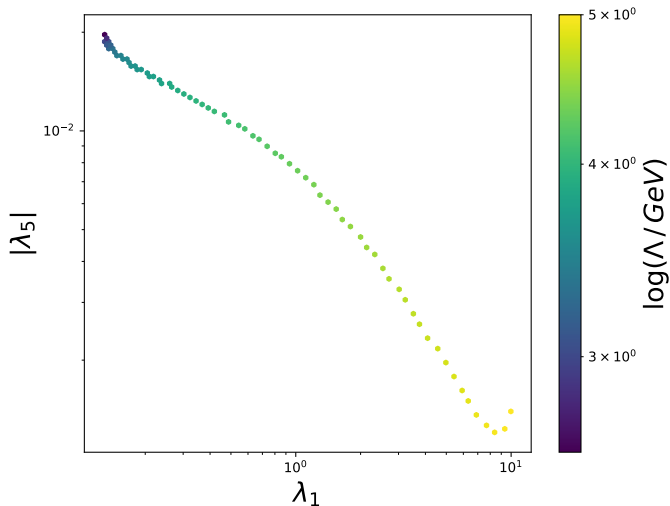


Figure: correlación entre  $\lambda_5$  y  $\lambda_1$ .



# Resultados

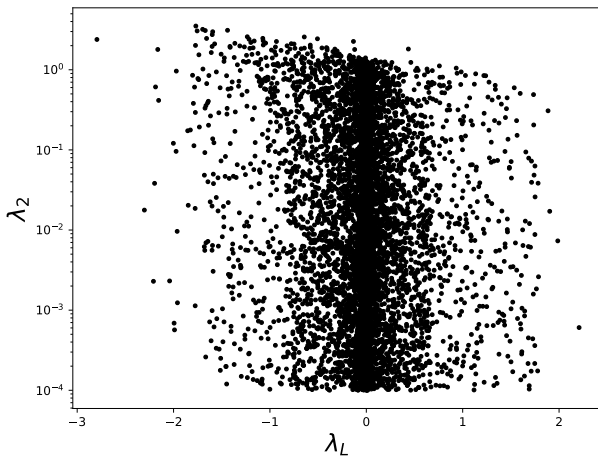
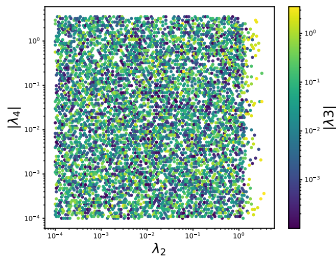
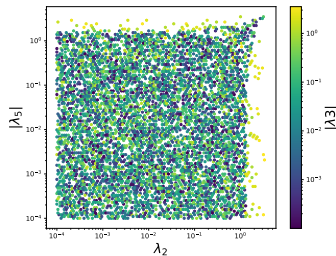


Figure: Restricciones sobre  $\lambda_L$ .

# Resultados



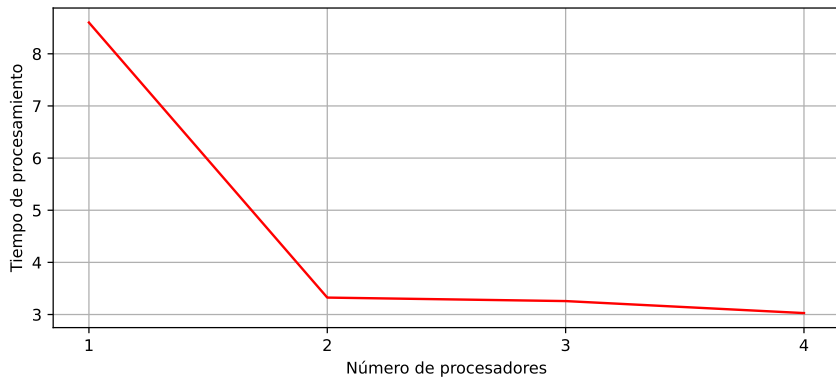
(a)



(b)

Figure: correlaciones entre los acoplamientos.

# Tiempos de cómputo



**Figure:** Tiempo de procesamiento por núcleos usando multiprocessing.

# Tiempos de cómputo

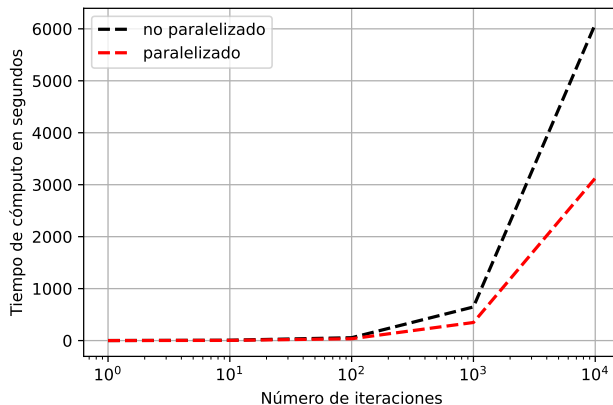


Figure: Tiempo de cómputo para el scan.

# Conclusiones

Se desarrolló un análisis de las restricciones que impone la unitariedad perturbativa a diferentes escalas para el modelo IDM, solucionando las RGEs para los parámetros del modelo. En tal sentido, se observó que los parámetros no adquieren importantes restricciones, salvo la mostrada por la figura  $\lambda_2$  vs  $\lambda_L$ , donde se muestra que para grandes valores de la iteración con el Higgs del SM, el autoacoplamiento de la partícula de materia oscura, tiende a disminuir.

Finalmente, los dos últimos gráficos muestran la importante reducción del tiempo de cómputo para el escán de Monte Carlo sobre el espacio de parámetros del modelo. En tal sentido, la paralelización genera mayor efectividad.

# Referencias

- [1] Laura Lopez Honorez and Carlos E. Yaguna. “The inert doublet model of dark matter revisited”. In: *Journal of High Energy Physics* 2010.9 (2010).

Muchas gracias.